

УДК 53.421.1

© 1991

## ЭПР И СТРУКТУРНЫЕ ПРЕВРАЩЕНИЯ В $\text{CsSrCl}_3 : \text{Gd}^{3+}$

*M. B. Черницкий, B. A. Важенин, A. E. Никифоров, A. E. Усачев.  
A. И. Кроткий, M. Ю. Артемов*

В кристалле  $\text{CsSrCl}_3$  имеет место каскад структурных фазовых переходов. Структура трех низкосимметричных фаз до сих пор надежно не установлена. В работе исследован спектр ЭПР кубического центра  $\text{Gd}^{3+}$  в четырех фазах  $\text{CsSrCl}_3$ . Проведен симметрийный анализ спектров ЭПР высокоспинового иона, замещающего узел В в решетке  $\text{ABX}_3$ . В результате установлена структура низкосимметричных фаз.

1. В кристаллах со структурой первовскита в зависимости от соотношения радиусов составляющих кристалл ионов наблюдаются структурные фазовые переходы [1], соответствующие сдвигам ионов или вращению лигандных октаэдров. Радиусы ионов в кристалле  $\text{CsSrCl}_3$  такие, что разрешают вращение октаэдров  $\text{SrCl}_6$ . Действительно, в кристалле  $\text{CsSrCl}_3$  имеет место последовательность фазовых переходов типа смещения при температурах 93, 106, 117 °С, связанных с конденсацией ротационных мягких мод  $R_{25}$  ( $\varphi_1 \varphi_2 \varphi_3$ ) и  $M_3$  ( $\psi_1 \psi_2 \psi_3$ ) (используются обозначения [2]);  $\varphi_i$  и  $\psi_i$  — углы разворота октаэдров вокруг соответствующих главных кристаллографических осей прафазы, которые выступают в роли параметра порядка. Для кристаллов семейства  $\text{ABX}_3$  структурные искажения в  $R$  и  $M$  точках зоны Бриллюэна являются наиболее распространенными. При одновременной конденсации нескольких компонент мод  $R_{25}$  и  $M_3$  возникают проблемы по установлению структуры низкосимметричной фазы. Это связано с большим многообразием возможных суперпозиций названных искажений, с наличием у исследуемых образцов произвольной доменной структуры, а в ряде случаев — с дополнительными искажениями кристаллической решетки, возникающими за счет вторичных или сопутствующих параметров порядка [3].

Комплексное изучение структурных превращений в  $\text{CsSrCl}_3$  методом рассеяния рентгеновских лучей [2], оптических и ультразвуковых исследований [2, 4], а также методом магнитного резонанса [5, 6] позволило однозначно определить только группы кристаллического класса диссиметричных фаз, что привело к нескольким возможным последовательностям структурных искажений

$$\begin{aligned}
 1) & O_h^1 \xrightarrow{[0\ 0\ \varphi]} D_{4h}^{18} \xrightarrow{[0\ \psi\ \varphi]} D_{2h}^{17} \xrightarrow{[\psi\ \Delta\ \varphi]} C_{2h}^2 [2,\ 4], \\
 2) & O_h^1 \xrightarrow{[0\ 0\ \varphi]} D_{4h}^{18} \xrightarrow{[\psi\ \psi\ \varphi]} D_{4h}^{15} \xrightarrow{[\psi\ \Delta\ \varphi]} C_{2h}^2 [2,\ 5,\ 6], \\
 3) & O_h^1 \xrightarrow{[0\ 0\ \psi]} D_{4h}^5 \xrightarrow{[0\ \varphi\ \psi]} D_{2h}^{17} \xrightarrow{[\varphi_2\ \varphi_1\ \psi]} C_{2h}^2 [2,\ 4], \\
 4) & O_h^1 \xrightarrow{[0\ 0\ \psi]} D_{4h}^5 \xrightarrow{[\psi_1\ \psi_2\ \psi_3]} D_{2h}^{25} \xrightarrow{[?]} C_{2h}^2 [2,\ 6],
 \end{aligned} \tag{1}$$

где  $\Delta = \psi \pm \varphi$ . Пространственная группа фазы  $[\psi\ \psi\ \varphi]$  в [2, 5, 6] ошибочно определена как  $D_{2h}^{13}$ .

Целью настоящей работы явилось исследование спектров ЭПР иона  $\text{Gd}^{3+}$ , замещающего ион  $\text{Sr}^{2+}$  в монокристалле  $\text{CsSrCl}_3$ , в условиях фазовых

переходов и установление трансляционных групп трех дисимметричных фаз. Для интерпретации полученных результатов привлекался анализ всевозможных спектров ЭПР кубического парамагнитного центра ( $S > 2$ ) в произвольных низкосимметричных фазах, связанных с конденсацией  $M_3$  и  $R_{25}$  мягких мод.

2. Монокристаллы  $\text{CsSrCl}_3$  с примесью  $\text{Gd}^{3+}$  выращивали методом Бриджмена из шихты эквимолярного состава предварительно обезвоженных хлоридов цезия и стронция в запаянных кварцевых ампулах. Спектры ЭПР исследовались на 3-сантиметровом радиоспектрометре с использованием системы терmostатирования образца в температурном интервале от 24 до 130 °C. Температуру измеряли термопарой хромель—копель с опорной точкой при 0 °C.

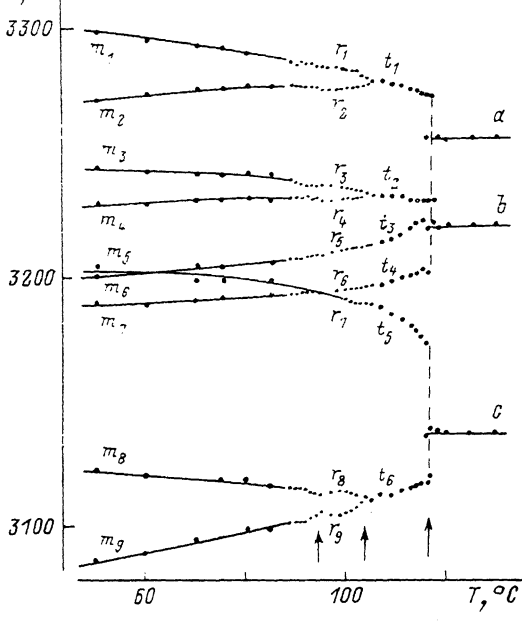


Рис. 1. Температурная зависимость резонансных положений низкополевых переходов кубического центра  $\text{Gd}^{3+}$  в  $\text{CsSrCl}_3$  при  $H \parallel C_4$ .

a — переход  $|3/2\rangle - |5/2\rangle$ , b —  $|1/2\rangle - |3/2\rangle$ , c —  $|5/2\rangle - |7/2\rangle$ . Стрелками показаны температуры фазовых превращений, определенные с учетом поведения тетрагонального центра.

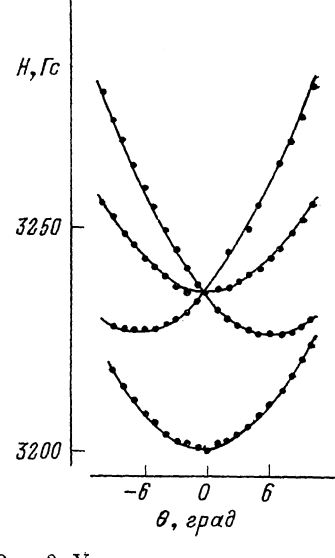


Рис. 2. Угловая зависимость положений компонент сигналов  $t_2$  и  $t_6$  в плоскости (XZ) при 111 °C.

а) Кубическая фаза.  $T > 117$  °C. При температуре 120 °C в спектре ЭПР  $\text{CsSrCl}_3$ :  $\text{Gd}^{3+}$  присутствуют сигналы по крайней мере трех типов центров  $\text{Gd}^{3+}$ : кубического и двух тетрагональных. Спектр ЭПР кубического примесного центра  $\text{Gd}^{3+}$  (с нелокальной компенсацией избыточного заряда) описывается спин-гамильтонианом

$$\hat{H} = g\beta HS + \frac{1}{60} b_{40} (O_{40} + 5O_{44}) + \frac{1}{1260} b_{60} (O_{60} - 21O_{66}), \quad (2)$$

где  $b_{40} = \pm 32.5$  (3) МГц,  $b_{60} = \mp 1.1$  (3) МГц,  $g = 1.993$  (3), как и в [5].

На рис. 1 приведена температурная зависимость положений низкополевых сигналов  $|7/2\rangle - |5/2\rangle$ ,  $|3/2\rangle - |1/2\rangle$ ,  $|5/2\rangle - |3/2\rangle$  спектра ЭПР кубического центра  $\text{Gd}^{3+}$  при направлении магнитного поля  $H \parallel C_4$ . Система координат выбрана таким образом, что ось Z совпадает с выделенной осью симметрии четвертого порядка.

б) Тетрагональная фаза  $G_1$ .  $106$  °C  $< T < 117$  °C. В диссимметричной фазе  $G_1$  трем сигналам названных ЭПР переходов соответ-

ствуют шесть сигналов, обозначенных  $t_1, t_2, \dots, t_6$ . Относительная интенсивность сигналов менялась в зависимости от исследуемого образца и выбора главной кристаллографической оси, что говорит о наличии в исследуемых образцах нескольких ориентационных доменов с различными объемами.

На рис. 2 приведена угловая зависимость сигналов  $t_2$  и  $t_4$  при вращении магнитного поля в плоскости ( $XZ$ ) вблизи оси  $Z$ . При произвольном направлении магнитного поля сигналы  $t_2$  и  $t_4$  расщепляются на 4 и 2 компоненты соответственно.

в) Ромбическая фаза  $G_2$ .  $93^\circ\text{C} < T < 106^\circ\text{C}$ . В диссиметричной фазе  $G_2$  трем сигналам ЭПР переходов прафазы отвечают девять сигналов, обозначенных  $r_1, r_2, \dots, r_9$  (рис. 1). При вращении магнитного поля в плоскости ( $XZ$ ) каждый сигнал расщепляется на 4 компоненты

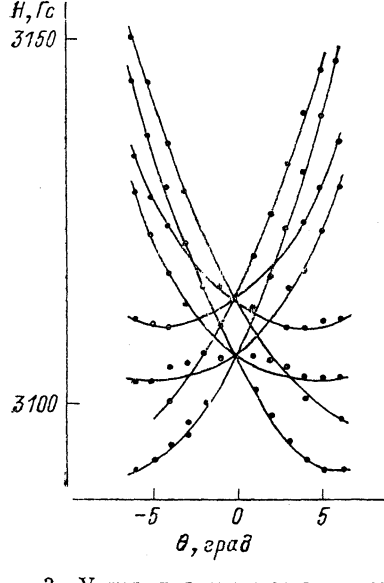


Рис. 3. Угловая зависимость положений компонент сигналов  $r_8$  и  $r_9$  в плоскости ( $XZ$ ) при  $99^\circ\text{C}$ .

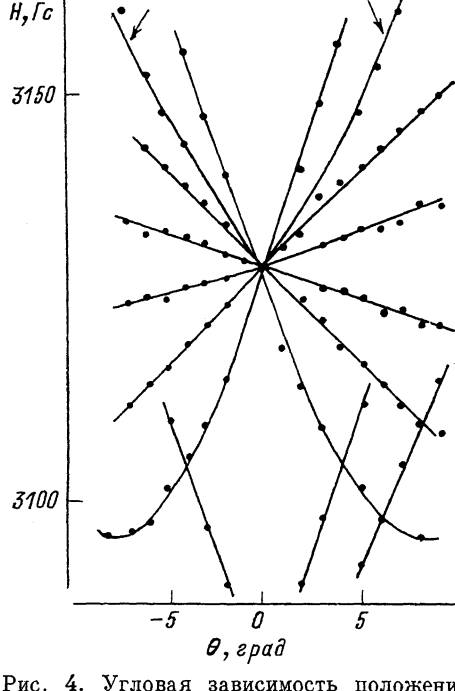


Рис. 4. Угловая зависимость положений компонент сигнала  $m_s$  в плоскости ( $XZ$ ) при комнатной температуре.

В нижней части рисунка видны компоненты сигнала  $m_s$ .

(рис. 3). При выходе магнитного поля из плоскости симметрии происходит дополнительное расщепление. Но из-за слабой интенсивности получающихся сигналов и их большого числа при произвольном направлении магнитного поля их число определить не удалось.

г) Моноклинная фаза  $G_3$ .  $T < 93^\circ\text{C}$ . В диссиметричной фазе  $G_3$  при  $\mathbf{H} \parallel C_4$  в спектре ЭПР  $\text{Gd}^{3+}$  дополнительных расщеплений не наблюдается. Происходит слабое скачкообразное изменение положения линий  $r_i$  (рис. 1). Наиболее хорошо заметно, что все три фазовых перехода в  $\text{CsSrCl}_3$  являются фазовыми переходами первого рода при исследовании температурной зависимости при произвольном направлении магнитного поля. Расщепления в спектре ЭПР иона  $\text{Gd}^{3+}$ , вызванные структурнымиискажениями, возникают скачком, и в критических областях фазовых переходов, которые составляют  $> 1^\circ$ , наблюдается одновременное существование спектров фаз  $G_i$  и  $G_{i+1}$ .

При измерении угловых зависимостей резонансного поля в третьей низкосимметричной фазе было обнаружено, что сигналы  $m_i$  (рис. 1) расщепляются на большее, чем 4, число компонент слабой интенсивности.

При комнатной температуре нами было исследовано несколько образцов с различным выбором главной кристаллографической оси  $C_4$ . При вращении магнитного поля в плоскости ( $XZ$ ) число компонент, на которые расщеплялись сигналы  $m_i$ , во всех образцах и при наложении картин угловых зависимостей для разных образцов не превышало 8. На рис. 4 приводится угловая зависимость сигнала  $m_8$  для одного из исследованных образцов. При вращении магнитного поля в плоскости ( $XZ$ ) сигнал  $m_8$  расщепляется на 8 компонент. У двух кривых, помеченных на рис. 4 стрелками, из-за слабой интенсивности не удалось записать нижнюю часть.

В моноклинной низкосимметричной фазе в спектре  $Gd^{3+}$  нами наблюдался следующий эффект. Как видно из рис. 2—4, получающиеся картины угловых зависимостей симметричны относительно плоскости ( $YZ$ ) или относительно оси, проходящей через  $\theta=0^\circ$ . Это является проявлением принципа Кюри: полный спектр ЭПР кубического примесного центра  $Gd^{3+}$  в полидоменном  $CsSrCl_3$  должен иметь группу симметрии прафазы  $O_h$ . Попарно симметричные кривые на рис. 2—4 отвечают различным центрам  $Gd^{3+}$ , октаэдры  $GdCl_6$  которых подвернуты на противоположные углы относительно соответствующих кристаллографических осей. Если такие центры связаны друг с другом утраченными при фазовом переходе трансляциями, т. е. находятся в одном ориентационном домене, их концентрации в произвольном образце должны быть одинаковыми. Мы считаем что  $Gd^{3+}$  с равной вероятностью занимает всевозможные магнитонеэквивалентные позиции при низких температурах, так как при высоких температурах все позиции  $Sr^{2+}$  эквивалентны. Тем не менее в фазе  $G_3$  в различных исследованных образцах мы наблюдали попарно симметричные сигналы, но с заметно отличающимися интенсивностями.

3. Для интерпретации полученных результатов будем следовать подходу [7, 8], где авторами настоящей работы был развит метод симметрийной классификации спектров магнитного резонанса при структурных фазовых переходах. Метод заключается в способе построения спинового гамильтонiana  $\hat{H}$  в диссимметричной фазе кристалла, претерпевающего структурное фазовое превращение. При фазовом переходе параметры  $\hat{H}_0$  симметричной фазы меняются и появляются новые параметры.  $\Delta\hat{H}$  раскладывается в ряд по параметру порядка  $\{\eta_i\}$  или записывается как совокупность инвариантов из операторов спина и  $\{\eta_i\}$  в точечной группе произвольного узла  $L$  решетки прафазы. Для этого строятся комбинации  $\eta^L(\Gamma_{\alpha\mu_\alpha})$  из компонент параметра порядка, имеющие ясные трансформационные свойства в точечной группе узла  $L-G^L$ . Член начального расщепления в нулевом магнитном поле записывается как

$$\Delta\hat{H} = \sum_{ik, \Gamma_\alpha, \Gamma_\beta, \mu_\alpha, \mu_\beta} B_m (\Gamma_{\alpha\mu_\alpha} \Gamma_{\beta\mu_\beta} | m\Gamma_1) \eta^L(\Gamma_{\alpha\mu_\alpha}) S_{\mu_\beta}^{k, \Gamma_\beta}, \quad (3)$$

где  $\Gamma$  — неприводимые представления группы  $G^L$ ;  $S_{\mu_\beta}^{k, \Gamma_\beta}$  — комбинация из спиновых тензорных операторов ранга  $k$ , преобразующаяся по строке  $m_\beta$  неприводимого представления  $\Gamma_\beta$ ; в круглых скобках — коэффициент Клебша—Гордана для точечной группы  $G^L$  [9];  $m$  нумерует инварианты;  $B_m$  — некоторые феноменологические константы. Выражение (3) учитывает только линейную зависимость от  $\{\eta_i\}$ . Чтобы учесть квадратичные члены разложения, достаточно в (3) вместо  $\eta^L(\Gamma_{\alpha\mu_\alpha})$  подставить следующие комбинации:

$$P_{\mu_\alpha}^{\Gamma_\alpha} = \sum_{\mu_i, \mu_j} (\Gamma_{i\mu_i} \Gamma_{j\mu_j} | \Gamma_{\alpha\mu_\alpha}) \eta^L(\Gamma_{i\mu_i}) \eta^L(\Gamma_{j\mu_j}) \quad (4)$$

Таким же образом могут быть включены в разложение (3) и комбинации более высоких степеней  $\{\eta_i\}$ . Отметим, что спиновые гамильтонианы всевозможных центров, полученные с помощью (3), записаны в единой системе координат. Для кристаллов семейства  $ABX_3$  оси такой системы коор-

днат выберем совпадающими с главными кристаллическими осями пра- фазы.

Компоненты  $\varphi_x$  и  $\psi_z$  в точечной группе  $O_h$  (в качестве узла  $L$  рассматриваем узел  $B$  решетки  $ABX_3$ ) преобразуются как базис неприводимого представления  $T_{1g}$ . Комбинации  $\eta^B(\Gamma_{\mu_\alpha})$  и  $P_{\mu_\alpha}^{\Gamma_a}$  для представления  $R_{25}$  приведены в [8]. Для представления  $M_3$  аналогичные комбинации получаются заменой в соответствующих выражениях  $\varphi$  на  $\psi$ . Для рассмотрения суперпозиции структурных искажений, отвечающих мягким модам  $R_{25}$  и  $M_3$ , необходимо добавочно учесть комбинации

$$\begin{aligned} P_1^{A_1g} &= \varphi_x \psi_x + \varphi_y \psi_y + \varphi_z \psi_z, \\ P_1^{Eg} &= 2\varphi_z \psi_x - \varphi_x \psi_z - \varphi_y \psi_y, \\ P_2^{Eg} &= \sqrt{3} (\varphi_x \psi_x - \varphi_y \psi_y), \\ P_1^{T_{1g}} &= \varphi_y \psi_z - \varphi_z \psi_y, \quad P_1^{T_{2g}} = \varphi_y \psi_z, \\ P_2^{T_{1g}} &= \varphi_z \psi_x - \varphi_x \psi_z, \quad P_2^{T_{2g}} = \varphi_x \psi_z, \\ P_3^{T_{1g}} &= \varphi_x \psi_y - \varphi_y \psi_x, \quad P_3^{T_{2g}} = \varphi_x \psi_y. \end{aligned} \quad (5)$$

Комбинации  $S_{\mu_b}^{k, \Gamma_b}$  для  $k=2$  приведены в [8], для  $k=4$  — в табл. 1 (в  $CsSrCl_3 : Gd^{3+}$   $\Delta b_{kq}$  с  $k=6$  малы;  $\Delta H$ , полученный из (3), не приведен из-за недостатка места).

Полученные нами спектры ЭПР хорошо описываются в рамках приближения сильного магнитного поля ( $g\beta H \gg b_{kq}$ ). Поэтому, пользуясь первым порядком теории возмущений, получим выражение для положения резонансного поля ЭПР сигнала  $|7/2\rangle - |5/2\rangle$

$$H = \frac{1}{g\beta} [h\nu - 6b'_{20} - 20b'_{40} - 6b'_{60}] + \dots \quad (6)$$

Штрихи у параметров  $b_{kq}$  означают, что спиновые гамильтонианы записаны в системе координат, где  $z' \parallel H$ .

Таким образом, для анализа спектров магнитного резонанса в диссимметричных фазах можно получить общие выражения для положения резонансного поля с явной зависимостью от компонент параметра порядка. Например, для случая  $H \parallel Z$  изменение положения сигнала ниже точки фазового перехода может быть записано как

$$\begin{aligned} \Delta H(0^\circ) &= a_1(\psi_x^2 + \psi_y^2 + \psi_z^2) + a_2(\varphi_x^2 + \varphi_y^2 + \varphi_z^2) + a_3(\psi_x \varphi_x + \psi_y \varphi_y + \psi_z \varphi_z) + \\ &+ a_4(2\psi_x^2 - \psi_x^2 - \psi_y^2) + a_5(2\varphi_x^2 - \varphi_x^2 - \varphi_y^2) + a_6(2\psi_x \varphi_x - \psi_x \varphi_x - \psi_y \varphi_y), \end{aligned} \quad (7)$$

Феноменологические параметры  $a_i$  выражаются через  $B_m$  из (3);  $\Delta H(0^\circ)$  в (7) зависит от всевозможных степеней свободы параметров порядка  $\{\psi\}$  и  $\{\varphi\}$ . Поэтому с помощью полученного выражения для величины отклонения от положения резонансного поля, бывшего в прафазе, можно предсказать и описать ЭПР спектр системы  $ABX_3 : Gd^{3+}$  в произвольной низкосимметричной фазе, связанной с конденсацией мягких мод  $M_3$  и  $R_{25}$ . Для получения положения резонансного поля соответствующего ЭПР перехода некоторого примесного центра в произвольном домене и низкосимметричной фазе достаточно в (7) приравнять нулю соответствующие компоненты мягких мод. Действуя на полученное выражение утраченными при фазовом переходе операциями симметрии, можно предсказать положения резонансных полей для примесных центров других ориентационных (действие утраченных поворотных элементов) и антифазных (действие утраченных трансляций) доменов.

Трансляционные свойства  $\{\psi\}$  и  $\{\varphi\}$  известны [2]

$$\begin{aligned} t_i \varphi_j &= -\varphi_j \quad (\text{для любых } i, j), \\ t_i \psi_j &= \begin{cases} \psi_j & (i=j), \\ -\psi_j & (i \neq j). \end{cases} \end{aligned} \quad (8)$$

Зная преобразования операторов Стивенса при поворотах на углы Эйлера [10], можно выразить  $b'_{kq}$  через  $b_{kq}$ . Таким образом, для случая  $\mathbf{H}$  в плоскости  $(XZ)$ ,  $\theta \neq 0$  имеем

$$\Delta H(\theta) = \Delta H(0^\circ) + \sin 2\theta [\alpha_1 \psi_y + \alpha_2 \varphi_y + \beta_1 \psi_x \psi_z + \beta_2 \varphi_x \varphi_z + \beta_3 (\psi_x \varphi_z + \psi_z \varphi_x) + \gamma (\psi_z \varphi_x - \psi_x \varphi_z)] + \sin^2 \theta [\zeta_1 (\psi_x^2 - \varphi_y^2) + \zeta_2 (\psi_z^2 - \varphi_y^2) + \zeta_3 (\psi_x \varphi_x - \psi_y \varphi_y)] + \dots \quad (9)$$

Феноменологические константы  $\alpha_i$ ,  $\beta_i$ ,  $\gamma$ ,  $\zeta$ , подобны  $a_i$  (7). Учет в (9) зависимостей, пропорциональных более высоким степеням  $\sin \theta$ , не меняет зависимости  $\Delta H(\theta)$  от параметра порядка.

Следует отметить, что учет в (6) второго порядка теории возмущений в (7) и (9) добавляет новые зависимости от параметра порядка. Но, как показывает оценка для  $\text{CsSrCl}_3$ , величина поправки второго порядка составляет  $\sim 10^{-2}$  Гс, что может не выполняться для других кристаллов со структурой перовскита, где спектры ЭПР описываются более сложными выражениями.

4. С помощью формул (7) и (9) можно интерпретировать картины расщеплений в температурной и угловых зависимостях (рис. 1—4).

Первый фазовый переход может быть отождествлен с конденсацией компоненты либо моды  $M_3$ , либо моды  $R_{25}$ . Парамагнитный ион с нелокальной компенсацией избыточного заряда, замещающий узел В в решетке  $\text{ABX}_3$ , не различает две такие ситуации [8, 11]. Поэтому в случае  $\text{Gd}^{3+}$ , замещающего  $\text{Sr}^{2+}$  в  $\text{CsSrCl}_3$ , из полученных нами спектров ЭПР невозможен

делать выбор между фазами  $[00\varphi]$  и  $[00\psi]$ . Отметим, что в пользу  $[00\psi]$  говорят результаты ультразвуковых исследований [2], поэтому примем, что первый фазовый переход связан с конденсацией одной компоненты моды  $M_3$ .

В низкосимметричной фазе  $\{\eta\} = [00\psi]$  имеются три ориентационных и шесть антифазных доменов:  $(\pm\psi 00)$ ,  $(0\pm\psi 0)$  и  $(00\pm\psi)$ . Из структуры выражения (7) видно, что расщепления в спектре кубического центра  $\text{Gd}^{3+}$  при  $\mathbf{H} \parallel C_4$  могут быть объяснены только наличием в исследуемом образце нескольких ориентационных доменов. В (7) отличны от нуля вклады, квадратичные по параметру порядка, пропорциональные константам  $a_1$  и  $a_4$  и не меняющие знака при действии на них утраченными трансляциями.

При первом фазовом переходе в полидоменном образце сигнал произвольного ЭПР перехода расщепится на два: от центров в домене  $(00\psi)$ , величина скачка резонансного поля  $2a_4\psi^2$ ; от центров доменов  $X$  и  $Y$ , величина скачка  $-a_4\psi^2$  (знак и величина параметра  $a_4$  зависят от ЭПР перехода). Исходя из полученных величин сдвига резонансных полей, легко интерпретировать температурную зависимость рис. 1: ЭПР переходу  $|7/2\rangle - |5/2\rangle$  соответствуют сигналы  $t_5$  ( $Z$  домен) и  $t_6$  ( $X$ ,  $Y$  домены); переходу  $|3/2\rangle - |1/2\rangle$  — сигналы  $t_4$  ( $Z$  домен) и  $t_2$  ( $X$ ,  $Y$  домены); переходу  $|5/2\rangle - |3/2\rangle$  — сигналы  $t_3$  ( $Z$  домен) и  $t_1$  ( $X$ ,  $Y$  домены). Такая интерпретация подтверждается тем, что интенсивности сигналов  $t_3$ ,  $t_4$  и  $t_5$  ( $Z$  домены) соотносятся так же, как интенсивности соответствующих ЭПР переходов, и угловые зависимости не противоречат таким выводам. Как видно из (9), дополнительные расщепления в угловой зависимости могут возникать от центров, находящихся в  $Y$  доменах (в фазе  $[00\psi]$  в (9) от-

личен от нуля только вклад, пропорциональный  $\alpha_i$ ), т. е. у сигналов  $t_1$ ,  $t_2$  и  $t_6$ , как на рис. 2.

Для фазы  $G_2$  были предложены 4 варианта структурных искажений:  $[0 \varphi \psi]$ ,  $[\psi \varphi \psi]$ ,  $[\varphi_2 \varphi_2 \psi_1]$ ,  $[\varphi \varphi \psi]$ . Температурная зависимость спектра на рис. 1 согласуется только с низкосимметричной фазой  $[0 \varphi \psi]$ . Как следует из (7), в этой фазе любому ЭПР переходу прафазы соответствуют три сигнала. Например, для ЭПР перехода  $|7/2\rangle - |5/2\rangle$  сигнал  $r_7$  с  $\Delta H(0^\circ) = 2a_4\varphi^2 - a_5\varphi^2$  отвечает центрам  $Gd^{3+}$  в ориентационных доменах  $(0 \varphi \psi)$ ,  $(\varphi 0 \psi)$ , сигнал  $r_8$  с  $\Delta H(0^\circ) = 2a_5\varphi^2 - a_4\varphi^2$  отвечает доменам  $(0 \psi \varphi)$ ,  $(\psi 0 \varphi)$ , сигнал  $r_9$  с  $\Delta H(0^\circ) = -a_4\varphi^2 - a_5\varphi^2$  отвечает центрам в доменах  $(\varphi \psi 0)$  и  $(\psi \varphi 0)$ . Для трех других фаз любому ЭПР переходу прафазы соответствуют 2 сигнала. Например, для фазы  $[\psi \varphi \psi]$  — это сигналы с  $\Delta H(0^\circ) = a_4\varphi^2 - a_5\varphi^2$  и  $\Delta H(0^\circ) = 2a_5\varphi^2 - 2a_4\varphi^2$ .

Угловые зависимости рис. 3 также согласуются с фазой  $[0 \varphi \psi]$ .

Из двух предложенных искажений для фазы  $G_3$  (1) с температурной зависимостью рис. 1 согласуются предсказываемые спектры для фазы  $[\varphi_2 \varphi_1 \psi]$ . Для фазы  $[\psi \Delta \varphi]$  для каждого ЭПР перехода прафазы должно наблюдаться 6 сигналов  $t_i$ . Три значения  $\Delta H(0^\circ)$  по аналогии с фазой  $G_2$  возникают за счет того, что для 12 возможных ориентационных доменов магнитное поле направлено либо вдоль искажения  $\varphi$ , либо вдоль искажения  $\Delta$ , либо вдоль искажения  $\psi$ . Кроме того, при одновременной конденсации двух одинаковых компонент  $\varphi_1$  и  $\varphi_2$  (искажение  $\Delta$ ) в выражении (7) отличны от нуля вклады, пропорциональные феноменологическим константам  $a_3$  и  $a_6$ , за счет которых в спектре появляются добавочные расщепления. Например, в ориентационном домене  $(\psi \Delta \varphi)$  существуют центры, связанные трансляциями типа  $t_y$ , для которых

$$\begin{aligned} \Delta H(0^\circ) = & (a_2 - a_5)(\varphi_x^2 + \varphi_y^2) + a_1(\psi_y^2 + \psi_z^2) + \\ & + a_4(2\psi_z^2 - \psi_y^2) + (a_3 - a_6)\psi_y\varphi_y. \end{aligned} \quad (10)$$

Величина константы  $a_6$ , как показывает микроскопическая оценка [8], по порядку такая же, как  $a_4$  и  $a_5$ . Угловая зависимость рис. 4 также согласуется с фазой  $[\varphi_2 \varphi_1 \psi]$ . Покажем это.

Сигнал  $t_8$  с  $\Delta H(0^\circ) = a_5(2\varphi_1^2 - \varphi_2^2) - a_4\varphi^2$  ( $|\varphi_1| > |\varphi_2|$ , величины  $a_1$ ,  $a_2$  пренебрежимо малы) отвечает четырем ориентационным доменам:  $(\psi \varphi_2 \bar{\varphi}_1)$ ,  $(\psi \varphi_2 \varphi_1)$ ,  $(\bar{\varphi}_2 \psi \varphi_1)$ ,  $(\varphi_2 \psi \varphi_1)$ . Перепишем (9) с теми членами, которые отличны от нуля для центров в перечисленных доменах

$$\Delta H(\theta) = \Delta H(0^\circ) + \sin 2\theta [\alpha_1 \psi_y + \alpha_2 \varphi_y \pm \beta_2 \varphi_x \varphi_z + (\beta_3 - \gamma) \psi_x \varphi_z] + \dots \quad (11)$$

Знак перед слагаемым с  $\beta_2$  зависит от выбора ориентационного домена и не меняется при действии на слагаемое любой трансляцией прафазы.  $\Delta H(\theta)$  из (11) может принимать 8 различных значений, соответствующих четырем магнитонеэквивалентным центрам в доменах  $(\psi \varphi_2 \bar{\varphi}_1)$ ,  $(\psi \varphi_2 \varphi_1)$ , связанных различными трансляциями (табл. 2), и двум магнитонеэквивалентным центрам в каждом из двух доменов:  $(\varphi_2 \psi \bar{\varphi}_1)$ , где  $|\beta_2| \varphi_1 \varphi_2 < 0$ , и  $(\varphi_2 \psi \varphi_1)$ , где  $|\beta_2| \varphi_1 \varphi_2 > 0$ .

Таким образом, 8 кривых на рис. 4 можно объяснить в рамках (9), (11) в предположении низкосимметричной фазы  $[\varphi_2 \varphi_1 \psi]$ . При этом сигналы спектров, симметричных относительно оси  $\theta = 0^\circ$ , могут иметь заметно различия.

Таблица 2

Знаки феноменологических параметров для центров, связанных друг с другом различными трансляциями

	$t_x$	$t_y$	$t_z$	$t_y + t_x$	$t_x + t_z$	$t_x + t_y$	$t_x + t_y + t_z$
$\alpha_2 \varphi_2$	+	-	-	-	+	+	-
$(\beta_3 - \gamma) \psi \varphi_1$	+	-	+	+	+	-	-

ные интенсивности. Слагаемые с  $\beta_2$  в (11) для таких пар сигналов имеют противоположные знаки, а значит, они соответствуют примесным центрам различных ориентационных доменов, объемы которых могут не совпадать. Наблюдение такого эффекта возможно только в случае одновременной конденсации двух различных компонент моды  $R_{25}$ .

Сказанное выше позволяет утверждать, что в  $CsSrCl_3$  имеет место последовательность № 3 из (1).

В заключение отметим еще раз достоинства описанного в п. 3 метода симметрийной классификации спектров магнитного резонанса при структурных фазовых переходах. Метод заключается в способе построения спиновых гамильтонианов, константы которых явно зависят от параметра порядка, что позволяет предсказать характерное поведение спектра ЭПР в произвольной низкосимметричной фазе. В результате оказалось возможным определение пространственной группы кристалла с помощью парамагнитного зонда, локализованного на некотором узле кристаллической решетки.

#### Список литературы

- [1] Kassan-Ogly F. A., Naish V. E. // Acta Cryst. 1986. V. 42. P. 307—313.
- [2] Александров К. С., Анистратов А. Т., Безносиков Б. В., Федосеева Н. В. Фазовые переходы в кристаллах галоидных комплексов  $ABX_3$ . Новосибирск: Наука, 1981.
- [3] Darlington C. N. W. // Phys. St. Sol. (b). 1976. V. 76. N 1. P. 231—239.
- [4] Поздняков Л. А., Безносиков Б. В., Коков И. Т., Александров К. С. // ФТТ. 1973. Т. 15. № 12. С. 3586—3588.
- [5] Усачев А. Е., Яблоков Ю. В., Позднякова Л. А., Александров К. С. // ФТТ. 1977. Т. 19. № 7. С. 2156—2160.
- [6] Усачев А. Е., Яблоков Ю. В., Львов С. Г. // ФТТ. 1981. Т. 23. № 5. С. 1439—1443.
- [7] Никифоров А. Е., Кроткий А. И. // ФТТ. 1984. Т. 26. № 5. С. 1513—1515.
- [8] Chernitskii M. V., Nikiforov A. E., Krotkii A. I. // Phys. Stat. Sol. (b). 1988. V. 145. P. 425—434.
- [9] Koster G. F., Dimmok J. O., Wheller R. G., Statz H. Properties of thirty-two point groups. MIT Press, Cambridge (Mass.), 1963.
- [10] Альтшуллер С. А., Козырев Б. М. Электронный парамагнитный резонанс соединений элементов промежуточных групп. М.: Наука, 1972. 672 с.
- [11] Быков И. П., Гейфман И. Н. и др. // ФТТ. 1978. Т. 2. № 2. С. 622—623.

Уральский государственный университет  
им. А. М. Горького  
Екатеринбург

Поступило в Редакцию  
25 января 1991 г.  
В окончательной редакции  
16 июля 1991 г.